

Filtrado de ruido en imagenes con transformada de Wavelet

G.Isaias¹ M.Santiago² S.Lautaro Andres³
V.Xavier⁴

1-2-3-4 Universidad Nacional del Comahue
Buenos Aires , Neuquen

1 Resumen

2 Marco Teorico

- Analisis Multiresolucion
- Umbralización

3 Implementacion

4 Resultados

- Imagenes de prueba
- Parametros optimos
- Comparacion de filtros

Resumen

Filtrado de
ruido en
imagenes con
transformada
de Wavelet

G.Isaias¹,
M.Santiago²,
S.Lautaro
Andres³,
V.Xavier⁴

Resumen

Marco Teorico

Analisis
Multiresolucion
Umbralización

Implementacion

Resultados

Imagenes de prueba
Parametros optimos
Comparacion de
filtros

Resumen del trabajo (alguna imagen que represente nuestro trabajo) Sugerencia usar a lenna

Análisis Multiresolución

Filtrado de
ruido en
imagenes con
transformada
de Wavelet

G.Isaias¹,
M.Santiago²,
S.Lautaro
Andres³,
V.Xavier⁴

Resumen

Marco Teorico

Analisis
Multiresolucion
Umbralización

Implementacion

Resultados

Imagenes de prueba
Parametros optimos
Comparacion de
filtros

Un análisis multiresolución para $L^2(\mathbb{R})$ consiste en una secuencia de subespacios cerrados de $L^2(\mathbb{R})$, $\{V_j\}_{j \in \mathbb{Z}}$, una función una función $\phi \in V_0$ tal que se cumplan las siguientes condiciones:

i. Los espacios V_j están anidados, es decir:

$$\dots \subset V_{-1} \subset V_0 \subset V_1 \dots$$

ii. $\overline{\bigcup_{j \in \mathbb{Z}} V_j} = L^2(\mathbb{R})$ y $\bigcap_{j \in \mathbb{Z}} V_j = \{0\}$

iii. Para todo $j \in \mathbb{Z}$, $V_{j-1} = D(V_j)$

iv. $f \in V_0 \rightarrow T_k f \in V_0, \forall k \in \mathbb{Z}$

v. $\{T_k \phi\}_{k \in \mathbb{Z}}$ es una base ortonormal de V_0

Análisis Multiresolución

Filtrado de
ruido en
imagenes con
transformada
de Wavelet

G.Isaias¹,
M.Santiago²,
S.Lautaro
Andres³,
V.Xavier⁴

Resumen

Marco Teorico

Analisis
Multiresolucion
Umbralización

Implementacion

Resultados

Imagenes de prueba
Parametros optimos
Comparacion de
filtros

Se define a W_j como el complemento ortogonal de V_j en V_{j-1}

$$V_{j-1} = V_j \oplus W_j \quad (1)$$

$$A_{j-1}(t) = A_j(t) + D_j(t) \quad (2)$$

Por otro lado:

$$V_J = V_K \oplus W_K \oplus \dots \oplus W_{J+1}, \quad J < K \quad (3)$$

Finalmente:

$$x(t) = A_J(t) + \sum_{j=-\infty}^J D_j(t) \quad (4)$$

Análisis Multiresolución

→ Vemos ejemplo en el toolbox de Matlab
Para continuar:



$$A_j(t) = \sum_{k \in \mathbb{Z}} \beta_{j,k} \phi_{j,k}(t) \quad (5)$$

Donde:

$$\beta_{j,k} = \langle x(t), \phi_{j,k}(t) \rangle \quad (6)$$



$$D_j(t) = \sum_{k \in \mathbb{Z}} \alpha_{j,k} \psi_{j,k}(t) \quad (7)$$

Donde:

$$\alpha_{j,k} = \langle x(t), \psi_{j,k}(t) \rangle \quad (8)$$

La función $\psi \in L^2(\mathbb{R})$ y $\{T_k \psi\}_{k \in \mathbb{Z}}$ son una base ortonormal de W_0

Filtrado de
ruido en
imagenes con
transformada
de Wavelet

G.Isaias¹,
M.Santiago²,
S.Lautaro
Andres³,
V.Xavier⁴

Resumen

Marco Teorico

Analisis
Multiresolucion
Umbralización

Implementacion

Resultados

Imagenes de prueba
Parametros optimos
Comparacion de
filtros

Umbralización

Filtrado de
ruido en
imagenes con
transformada
de Wavelet

G.Isaias¹,
M.Santiago²,
S.Lautaro
Andres³,
V.Xavier⁴

Resumen

Marco Teorico

Analisis
Multiresolucion
Umbralización

Implementacion

Resultados

Imagenes de prueba
Parametros optimos
Comparacion de
filtros

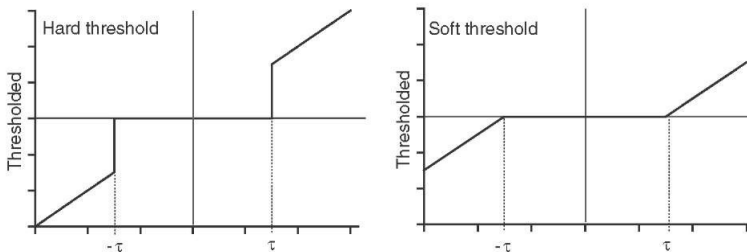


Figura: Modos de umbralización más utilizados

Umbralización

Filtrado de
ruido en
imagenes con
transformada
de Wavelet

G.Isaias¹,
M.Santiago²,
S.Lautaro
Andres³,
V.Xavier⁴

Resumen

Marco Teorico

Analisis
Multiresolucion
Umbralización

Implementacion

Resultados

Imagenes de prueba
Parametros optimos
Comparacion de
filtros

Algoritmos para el cálculo del umbral τ :

- VisuShrink
- LevelShrink
- BayesShrink
- NormalShrink
- AWT(Adaptative Wavelet Treshholding)

Pseudocodigo parametros optimos

- Leer todas las imagenes de una carpeta.
- Agregar ruido gaussiano con $\mu = 0$ y varianza σ .
- Seleccionar el parametro a variar, y dejar constante el resto de parametros.
- Transfromar la imagen utilizando la trasnformada de Wavelet.
- Calcular los umbrales para cada nivel segun el umbral seleccionado.
- Aplicar el modo (soft - hard) y eliminar las componentes menores al umbral.
- Aplicar la antitransformada.
- Calcular el PSNR y el SSIM.

Filtrado de
ruido en
imagenes con
transformada
de Wavelet

G.Isaias¹,
M.Santiago²,
S.Lautaro
Andres³,
V.Xavier⁴

Resumen

Marco Teorico

Analisis
Multiresolucion
Umbralización

Implementacion

Resultados

Imagenes de prueba
Parametros optimos
Comparacion de
filtros

Pseudocodigo comparacion de filtros

Filtrado de
ruido en
imagenes con
transformada
de Wavelet

G.Isaias¹,
M.Santiago²,
S.Lautaro
Andres³,
V.Xavier⁴

Resumen

Marco Teorico

Analisis
Multiresolucion
Umbralización

Implementacion

Resultados

Imagenes de prueba
Parametros optimos
Comparacion de
filtros

Filtrado de
ruido en
imagenes con
transformada
de Wavelet

G.Isaias¹,
M.Santiago²,
S.Lautaro
Andres³,
V.Xavier⁴

Resumen

Marco Teorico

Analisis
Multiresolucion
Umbralización

Implementacion

Resultados

Imagenes de prueba
Parametros optimos
Comparacion de
filtros

Imagenes con ruido gaussiano con $\sigma = 0,3$

Comparacion de Niveles

Filtrado de
ruido en
imagenes con
transformada
de Wavelet

G.Isaias¹,
M.Santiago²,
S.Lautaro
Andres³,
V.Xavier⁴

Resumen

Marco Teorico

Analisis
Multiresolucion
Umbralización

Implementacion

Resultados

Imagenes de prueba

Parametros optimos

Comparacion de
filtros

PSNR	noise	1	2	4	6
Lenna	17.65	23.92	27.03	22.29	22.29
House	19.87	22.90	25.58	24.57	23.51
Wave	18.63	23.34	26.70	24.71	24.65
SSIM	noise	1	2	4	6
Lenna	0.518	0.742	0.856	0.847	0.808
House	0.620	0.806	0.882	0.839	0.814
Wave	0.586	0.761	0.839	0.820	0.803

Comparacion de Niveles

Filtrado de
ruido en
imagenes con
transformada
de Wavelet

G.Isaias¹,
M.Santiago²,
S.Lautaro
Andres³,
V.Xavier⁴

Resumen

Marco Teorico

Analisis
Multiresolucion
Umbralización

Implementacion

Resultados

Imagenes de prueba

Parametros optimos

Comparacion de
filtros



Comparacion de modos

Filtrado de
ruido en
imagenes con
transformada
de Wavelet

G.Isaias¹,
M.Santiago²,
S.Lautaro
Andres³,
V.Xavier⁴

Resumen

Marco Teorico

Analisis
Multiresolucion
Umbralización

Implementacion

Resultados

Imagenes de prueba
Parametros optimos
Comparacion de
filtros

PSNR	noise	soft	hard
Lenna	17.65	27.03	21.41
House	19.87	25.58	20.20
Wave	18.63	26.70	20.85
SSIM	noise	soft	hard
Lenna	0.518	0.856	0.757
House	0.620	0.882	0.789
Wave	0.586	0.839	0.755

Comparacion de modos

Filtrado de
ruido en
imagenes con
transformada
de Wavelet

G.Isaias¹,
M.Santiago²,
S.Lautaro
Andres³,
V.Xavier⁴

Resumen

Marco Teorico

Analisis
Multiresolucion
Umbralización

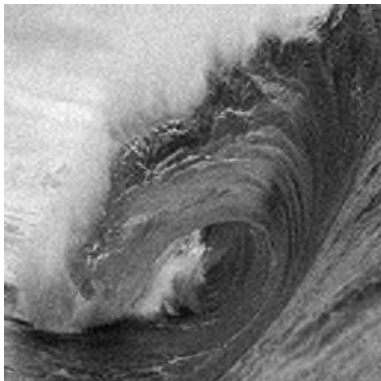
Implementacion

Resultados

Imagenes de prueba

Parametros optimos

Comparacion de
filtros



Comparacion de umbrales

Filtrado de
ruido en
imagenes con
transformada
de Wavelet

G.Isaias¹,
M.Santiago²,
S.Lautaro
Andres³,
V.Xavier⁴

Resumen

Marco Teorico

Analisis
Multiresolucion
Umbralización

Implementacion

Resultados

Imagenes de prueba
Parametros optimos
Comparacion de
filtros

PSNR	noise	universal	bayes	level	normal	awt
Lenna	17.65	25.86	25.71	25.40	27.03	25.24
House	19.87	22.91	23.32	23.19	25.58	23.41
Wave	18.63	26.74	26.70	26.86	26.70	25.56
SSIM	noise	universal	bayes	level	normal	awt
Lenna	0.518	0.848	0.847	0.849	0.856	0.838
House	0.620	0.851	0.850	0.857	0.882	0.849
Wave	0.586	0.830	0.829	0.833	0.839	0.823

Comparacion de umbrales

Filtrado de
ruido en
imagenes con
transformada
de Wavelet

G.Isaias¹,
M.Santiago²,
S.Lautaro
Andres³,
V.Xavier⁴

Resumen

Marco Teorico

Analisis
Multiresolucion
Umbralización

Implementacion

Resultados

Imagenes de prueba

Parametros optimos

Comparacion de
filtros



Comparacion de la Wavelet madre

Filtrado de
ruido en
imagenes con
transformada
de Wavelet

G.Isaias¹,
M.Santiago²,
S.Lautaro
Andres³,
V.Xavier⁴

Resumen

Marco Teorico

Analisis
Multiresolucion
Umbralización

Implementacion

Resultados

Imagenes de prueba
Parametros optimos
Comparacion de
filtros

PSNR	noise	haar	db4	sym8
Lenna	17.65	23.44	25.19	27.03
House	19.87	26.38	24.78	25.58
Wave	18.63	24.67	26.87	26.70
SSIM	noise	haar	db4	sym8
Lenna	0.518	0.819	0.853	0.856
House	0.620	0.848	0.875	0.882
Wave	0.586	0.805	0.836	0.839

Comparacion de la Wavelet madre - db4

Filtrado de
ruido en
imagenes con
transformada
de Wavelet

G.Isaias¹,
M.Santiago²,
S.Lautaro
Andres³,
V.Xavier⁴

Resumen

Marco Teorico

Analisis
Multiresolucion
Umbralización

Implementacion

Resultados

Imagenes de prueba
Parametros optimos
Comparacion de
filtros



Comparacion de la Wavelet madre - haar

Filtrado de
ruido en
imagenes con
transformada
de Wavelet

G.Isaias¹,
M.Santiago²,
S.Lautaro
Andres³,
V.Xavier⁴

Resumen

Marco Teorico

Analisis
Multiresolucion
Umbralización

Implementacion

Resultados

Imagenes de prueba

Parametros optimos

Comparacion de
filtros



Comparacion de la Wavelet madre - sym8

Filtrado de
ruido en
imagenes con
transformada
de Wavelet

G.Isaias¹,
M.Santiago²,
S.Lautaro
Andres³,
V.Xavier⁴

Resumen

Marco Teorico

Analisis
Multiresolucion
Umbralización

Implementacion

Resultados

Imagenes de prueba
Parametros optimos
Comparacion de
filtros



Parametros optimos

Filtrado de
ruido en
imagenes con
transformada
de Wavelet

G.Isaias¹,
M.Santiago²,
S.Lautaro
Andres³,
V.Xavier⁴

Resumen

Marco Teorico

Analisis

Multiresolucion

Umbralización

Implementacion

Resultados

Imagenes de prueba

Parametros optimos

Comparacion de
filtros

level	wavelet	mode	umbral
2	sym8	soft	normal

Resultado del filtrado

Filtrado de
ruido en
imagenes con
transformada
de Wavelet

G.Isaias¹,
M.Santiago²,
S.Lautaro
Andres³,
V.Xavier⁴

Resumen

Marco Teorico

Analisis
Multiresolucion
Umbralización

Implementacion

Resultados

Imagenes de prueba
Parametros optimos
Comparacion de
filtros